

PD제어기와 신경망 제어기를 이용한 유도전동기의 속도제어

양 오. 김 윤서*
청주대학교 전자공학과

Speed Control of Induction Motor using Neural Networks and PD controller

Oh Yang, Youn Seo Kim*
Dept. of Electronic Engineering Chong-ju University

Abstract - In this paper, a hybrid controller that consists of a conventional PD controller and a neural network controller which adapts to various control conditions by online learning is used and a new learning algorithm of the neural networks is used to prevent weights of neural network from diverging. A conventional PI controller and the hybrid controller is applied to speed control of 3 phase induction motor. So in comparison with a PD controller, we prove superiority of hybrid controller by experiments.

1. 서 론

최근 수많은 현대 제어이론이 제안되었음에도 불구하고 비례, 적분(PI)제어기나 비례, 적분, 미분(PID)제어기가 산업계에 널리 사용되고 있다. 이 제어기들은 그 구조가 간단하고 빠른 응답 특성과 함께 매우 견실한 특성을 갖고 있기 때문에 많은 분야에서 대부분의 제어기로서 사용되고 있지만 운전 중에 시스템의 파라미터가 변동하거나 동작 영역이 변할 때 제어기의 파라미터인 비례이득, 적분이득, 미분이득을 제어 대상에 따라 적절히 조정하기 어렵고, 특히 외란, 부하 변동 등 외부환경이 변하는 경우 만족할만한 제어 성능을 얻을 수 없다. 특히 정밀 제어를 요하는 시스템에서는 정상 상태 오차가 크기 때문에 적용하기가 곤란하다.[1]

유도전동기는 기계적인 구조가 견고하고 유지보수가 용이하며 출력에 비해 소형이고 가격이 저렴하며 고속운전이 가능한 장점을 가지고 있지만 상호결합과 비선형성 때문에 제어하기가 어렵고 제어특성이 복잡하여 실제 산업 현장에서는 정속도 구동장치로 그 용도가 제한적으로 많이 사용되고 있다.[2][3] 따라서 본 논문에서는 제어의 간편성과 안정성 때문에 현재 산업현장에서 가장 많이 쓰이는 제어기인 PI제어기와 학습능력을 가지고 있어 환경이나 시스템 자체에 대한 사전 지식 없이도 변화하는 제어 환경에 스스로 적응할 수 있는 신경망 제어기와 PD제어기가 병렬로 연결된 하이브리드 제어기를 유도전동기의 속도제어 시스템에 적용하여 하이브리드 제어기의 우수성을 실험적으로 입증하고자 한다.

2. 본 론

2.1 신경 회로망의 설계

신경 회로망의 구조가 간단하고 학습 능력과 외란에 대한 강인성 때문에 식별과 제어에 많이 쓰이는 것이 전향 신경 회로망(feedforward neural networks)이다. 이 신경 회로망은 일단 전방향으로 일시에 계산이 되기 때문에 계산 시간이 적지만, 외부적 시간 지연을 통해 신경 회로망의 입력에 플랜트의 출력에 대한 과거값을 넣어 주어야 한다. 본 논문에 사용된 전향 신경 회로망 제어기의 구조는 그림 1과 같다.[4]

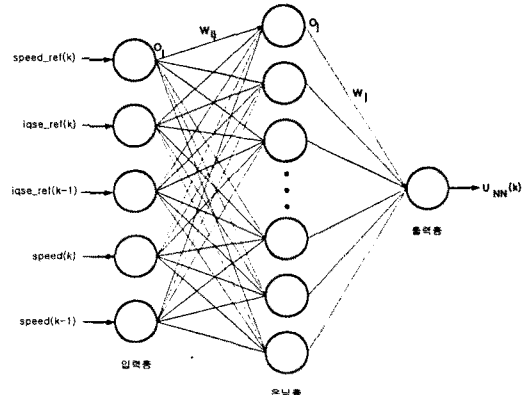


그림 1. 신경 회로망의 구조

신경 회로망의 학습 과정에 있어서 활성 함수가 학습에 미치는 영향은 매우 크다. 학습에 주로 사용되는 활성 함수로는 unipolar sigmoid, bipolar sigmoid, radial base function 등이 사용되지만, 제어 문제에서 와 같이 양과 음의 값을 필요로 할 때는 bipolar sigmoid 형인 $\tanh(\cdot)$ 이 주로 사용된다. 특히 이와 같은 활성 함수는 매우 복잡한 논리나 지식을 학습할 수 있다는 장점이 있기 때문에 본 논문에서는 제어에 적합하도록 bipolar sigmoid 형을 사용하였다.

$$U_{NN}(k) = \sum W_i O_i + \theta \quad (1)$$

$$O_i = \tanh(\sum W_{ij} O_i + \theta_i) \quad (2)$$

가장 많이 사용되는 학습 방법으로는 최대 경사법의 일종인 오차 역전파(error back-propagation) 학습 알고리즘을 들 수 있다.

$$W(k+1) = W(k) - \eta \frac{\partial E(k)}{\partial W} \quad (3)$$

그러나 이 학습 방법에서는 신경 회로망의 가중치들이 안정하게 학습됨을 보장할 수 없고 실제 신경 회로망의 가중치들이 발산하는 경우가 종종 있다. 이와 같은 학습 방법을 개선하기 위해 신경망의 가중치 값들이 어떤 유한한 범위에 있도록 하는 새로운 오차 역전파 학습 알고리즘을 사용하였다.[1]

먼저 은닉층 j 번째 뉴런과 출력층 사이의 가중치에 대한 학습 방법을 식 (3)의 우변에 새로운 항을 추가하여 학습 알고리즘을 식 (4)와 같이 변형한다.

$$W_j(k+1) = W_j(k) - \eta \frac{\partial E(k)}{\partial W_j(k)} - \sigma W_j(k) \left| \frac{\partial E(k)}{\partial W_j(k)} \right| \quad (4)$$

i 번째 입력총과 j 번째 은닉총 뉴런 사이의 가중치 학습 방법을 식 (4)와 같이 수정하면 다음과 같다.

$$W_{ij}(k+1) = W_{ij}(k) - \eta \frac{\partial E(k)}{\partial W_{ij}(k)} - \sigma W_{ij}(k) \left| \frac{\partial E(k)}{\partial W_{ij}(k)} \right| \quad (5)$$

이상과 같이 기존의 오차 역전파 학습 알고리즘에 새로운 항을 추가함으로써 신경 회로망의 가중치들이 발산하지 않고 안정한 신경 회로망이 설계될 수 있다.

2.2 신경망이 포함된 하이브리드형 제어기 설계

하이브리드형 제어기는 초기에는 PD제어기에 의해 제어가 이루어지다가 시간이 지남에 따라 신경망이 PD제어기의 출력을 0으로 가도록 학습함으로써 나중에는 신경 회로망 제어기가 주 제어기가 되도록 한 것이다. 이것은 PD제어기와 신경 회로망 제어기가 병렬로 연결된 구조로써 그림 2에 나타내었다.

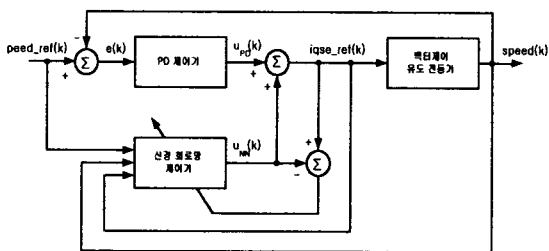


그림 2. 하이브리드형 제어기 구조

유도전동기를 제어하기 위한 제어입력 $iqse_ref(k)$ 는 기존의 PD제어기의 출력 $u_{PD}(k)$ 와 신경 회로망 제어기의 출력 $u_{NN}(k)$ 의 합으로 다음과 같다.

$$iqse_ref(k) = u_{PD}(k) + u_{NN}(k) \quad (8)$$

학습을 위한 오차 합수 $E(k)$ 는 식 (9)와 같이 선정하였다.

$$E(k) = \frac{1}{2} [iqse_ref(k) - u_{NN}(k)]^2 \quad (9)$$

이와 같이 신경 회로망 제어기가 주제어기로 되었을 때는 제어 대상 플랜트에 외란이 존재하거나 부하변동과 같은 상황에서도 강인한 제어가 가능하며 아울러 정상 상태 오차도 크게 줄어들어 정밀한 제어를 할 수 있다.

2.3 유도전동기의 속도 제어 시스템 구현

본 논문에서는 유도전동기의 속도제어로 유도전동기의 복잡한 제어특성을 직류전동기의 제어특성과 유사한 조건으로 단순화한 벡터 제어법을 사용하였으며[3]. 유도전동기의 온라인 제어를 위해 신경 회로망을 간단히 구현하였다. 또한 계산량이 많은 신경 회로망을 구현하기 위해 초고속 프로세서인 DSP(TMS320C31-40MHz)를 사용하였고, PWM파형 발생과 속도계측을 위해 PWM 전용의 ASIC을 사용하여 신경회로망 구현시 문제시되어 왔던 연산 속도의 문제를 개선하였다. ASIC으로부터 100us마다 외부인터럽트를 발생시켜 전류계측과 전류 PI제어를 하도록 하였다. 전류계측을 위해 12비트의 A/D변환기가 사용되었으며, 속도계측을 위해서는 1회전당 8,192펄스를 발생하는 높은 분해능의 엔코더를 사용하여 이를 4채배하여 M/T 방식에 의해 실제 속도를 계산하였다. 스위칭소자는 Fuji사의 600V, 300A의 정격을 가지는 IGBT를 사용하였으며, 스위칭소자의 보호를 위한 deadtime을 5us로 설정하였다. 실

시간 제어 상에서 각각의 테이터는 PC를 통해 모니터할 수 있으며, 각각의 디지털 데이터들은 8비트의 D/A변환기 4채널을 통해 오실로스코프에서 계측할 수 있도록 하였다.

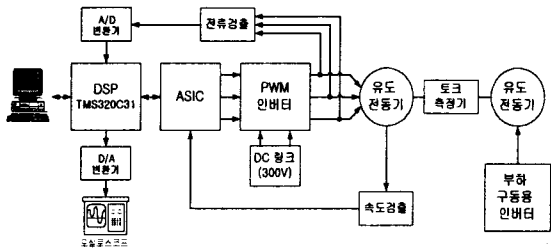


그림 3. 유도전동기의 속도제어 시스템

그림 3에 본 논문에서 사용된 유도전동기의 속도제어 시스템의 구성을 나타내었고, 표 1에 유도전동기 속도제어 시스템에 대한 세부사항을 나타내었다.

표 1. 유도전동기의 제어시스템 사양

Motor	3 Phase Induction Motor (2.2 KW)	
DSP	TMS320C31-40MHz	
ASIC	동작주파수	40 MHz
	PWM의 분해능	12 비트
	Dead Time 설정	10 비트
	기타 기능	PWM 보호회로, 속도 검출(M/T 방법)
인버터	IGBT(Fuji, 정격 600V, 300A) 사용	
메모리	Flash Memory : AMD29F010 RAM : 68257(32KB) × 4	
A/D변환기	AD7891(8채널 12 비트)	
D/A변환기	AD7226(4채널 8 비트)	

2.4 실험방법 및 결과

본 실험에 사용된 전동기는 2.2kw(3마력)의 유도전동기로써 극수는 4개, R_s (고정자 저항)은 0.915[Ω], R_r (회전자 저항)은 1.11091[Ω], L_m (자화 인덕턴스)는 0.1132335[H], L_r (회전자 인덕턴스)와 L_s (고정자 인덕턴스)는 0.189705[H], J (관성모멘트)는 0.1[Kg·m²], Slip Constant는 5.856의 파라미터를 가진다. 또한 제어기의 파라미터로써 η (학습률)은 0.0015, α (활성함수의 기울기)는 0.007, β (오프셋의 학습률)는 0.01, 입력층의 뉴런 수는 5개, 은닉층의 뉴런 수는 15개, P 계인은 0.2, I 계인은 2.0, D 계인은 0.004의 값을 사용하였다.

하이브리드형 제어기의 성능을 평가하기 위하여 유도전동기의 속도제어에 적용하였으며 기준속도로 처음 6초 동안에는 500rpm, 그 후에는 1000rpm으로 하였다. 부하토크는 3~4초와 9~11초 구간에서 5.9N·m의 부하토크를 주어 과도 특성과 부하특성을 관찰하였다.

그림 4와 그림 5에 유도전동기의 속도제어에 대한 과도특성과 부하특성에 대한 응답곡선을 나타내었다. 그림에서 한 눈금당 2V가 표시되며, 1V당 130rpm을 나타낸다. 그럼에서 알 수 있듯이 PI제어기를 사용했을 때 정상상태에 도달하는 시간은 약 0.7초이며, 하이브리드 제어기를 사용했을 때 정상상태에 도달하는 시간은 약 0.5초로써 더 빠름을 알 수 있으며, 부하특성 또한 하

이브리드형 제어기가 훨씬 안정함을 알 수 있다.

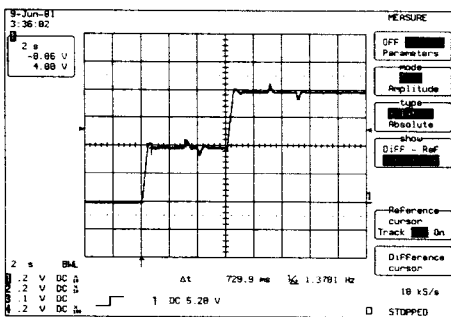


그림 4. PI제어기의 속도 응답

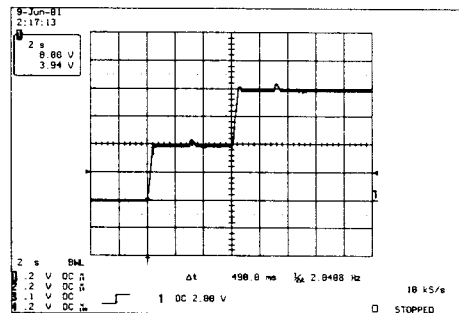


그림 5. 하이브리드형 제어기의 속도 응답

그림 6과 그림 7은 각 제어기로부터 나온 유도 전동기의 제어입력전류(iqse_ref)를 나타낸다. 한눈금 당 5V를 나타내고, 1V당 3A의 값을 가지며 과도한 전류의 흐름을 방지하는 전류 리미트를 24A로 하였다.

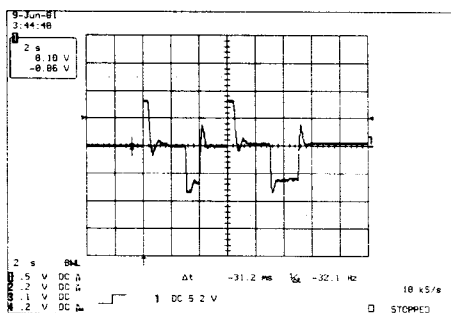


그림 6. PI제어기의 출력 전류

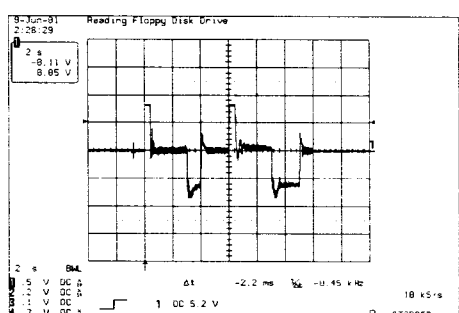


그림 7. 하이브리드제어기의 출력 전류

그림 7에서 처음에는 하이브리드 제어기 중 PD제어기가 주제어 입력전류로 나타나지만 시간이 지나 신경회로망의 학습이 이루어지면서 PD제어기의 값은 적어지고 신경 회로망 제어기가 주제어 입력전류가 됨을 실험을 통해 알 수 있었다.

그림 8과 그림 9는 속도오차 절대값에 대한 합으로써 1V당 11000rpm의 값을 나타낸다.

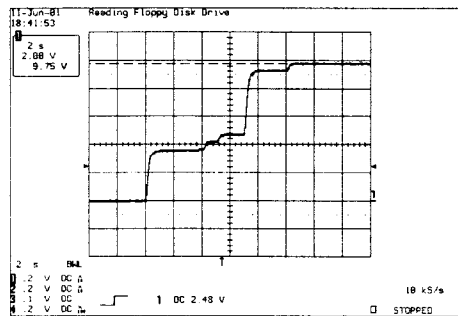


그림 8. PI제어기의 속도오차 절대값에 대한 합

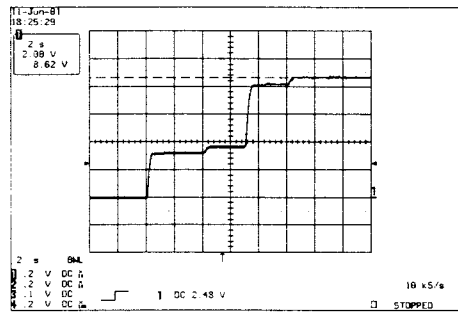


그림 9. 하이브리드제어기의 속도오차 절대값에
대한 합

3. 결 론

하이브리드 제어기를 3상 유도전동기의 속도제어에 적용한 실험 결과에서 알 수 있듯이 하이브리드형 제어기가 과도 상태에서 일반적인 PI제어기보다 더 빠른 속응성을 나타냄을 알 수 있다. 정상상태에서도 더 안정하고 더 작은 오차를 가지며, 외란이나 부수변동시에도 외부의 환경에 더 빨리 적응함으로써 하이브리드 제어기가 PI제어기의 단점을 개선함을 알 수 있다. 이로써 하이브리드 제어기의 우수성을 실현을 통해 확인하였다.

[참 고 문 헌]

- [1] 양오. 양해원. "수정된 PD제어기와 신경 회로망을 이용한 하이 브리드 제어 시스템의 구현". 대한 전기학회 논문지, vol 45, no5, pp 764-772, 1995
 - [2] Mohamed Chtourou, Nabil Derbel, Mohamed Ben Ali Kamoun, "Control of a loaded induction machine using a feedforward neural network". Journal of Systems Science, vol 27, no 12, pp1287-1295, 1996
 - [3] B.K. Bose, "Power Electronics and AC drivers". Prentice Hall
 - [4] 김대수. "신경망 이론과 응용(I)". 하이테크정보